

КРАТКИЕ СООБЩЕНИЯ

541.49:548.736

КРИСТАЛЛИЧЕСКАЯ И МОЛЕКУЛЯРНАЯ СТРУКТУРА СОЕДИНЕНИЯ $[Nd_2(H_2O)_8(C_6F_5COO)_6] \cdot 2H_2O$

© 2010 Л.А. Глинская*, Т.Г. Леонова, Р.Ф. Клевцова, С.В. Ларионов

Учреждение Российской академии наук Институт неорганической химии им. А.В. Николаева СО РАН, Новосибирск

Статья поступила 10 июня 2009 г.

Получено соединение состава $Nd(C_6F_5COO)_3 \cdot H_2O$ (I). Выращены монокристаллы и проведено рентгеноструктурное исследование соединения $[Nd_2(H_2O)_8(C_6F_5COO)_6] \cdot 2H_2O$ (II). Кристаллы триклинические: $a = 7,693(2)$, $b = 9,394(2)$, $c = 18,203(4) \text{ \AA}$, $\alpha = 81,91(3)$, $\beta = 84,41(3)$, $\gamma = 88,97(3)^\circ$, $Z = 1$, $d_x = 2,223 \text{ г/см}^3$. Структура образована из симметричных молекул биядерного комплекса $[Nd_2(H_2O)_8(C_6F_5COO)_6]$ и молекул кристаллизационной воды. Лиганды $C_6F_5COO^-$ являются монодентатными и тридентатными мостикохелатообразующими, что приводит к замыканию двух четырехчленных хелатных циклов Nd_2O_2C и четырехчленного металлоцикла Nd_2O_2 . Полиэдр NdO_9 — искаженная одношапочная тетрагональная антипризма.

Ключевые слова: неодим(III), биядерный комплекс, кристаллическая и молекулярная структура, пентафторбензоат-ионы.

Синтез комплексов лантаноидов (Ln) с органическими лигандами, обладающими люминесцентными свойствами, относится к актуальным направлениям координационной химии [1, 2]. Известно, что введение атомов F в состав органического лиганда приводит к усилению люминесценции [3—6]. В связи с этим перспективно изучение комплексов Ln с ароматическими перфторкарбоновыми кислотами. Ранее синтезированы соединения Eu(III) [7], Gd(III), Tb(III) и Dy(III) [8] с анионами пентафторбензойной кислоты. Недавно получены соединения $Ln(\text{Phen})(C_6F_5COO)_3$ ($Ln = Tb$, Eu) [9]. Найдено, что вышеперечисленные соединения Tb(III) и Eu(III) обладают фотolumинесценцией, а также определена кристаллическая структура биядерного комплекса $[Tb_2(H_2O)_8(C_6F_5COO)_6]$ (III) [9]. Актуальны синтез, исследование структуры и фотolumинесценции комплексов других Ln , содержащих лиганды $C_6F_5COO^-$.

Цель данной работы — изучение методом РСА структуры продукта кристаллизации синтезированного соединения Nd(III) с пентафторбензоат-ионами из водного раствора.

Экспериментальная часть. Синтез $Nd(C_6F_5COO)_3 \cdot H_2O$ (I). К свежеприготовленному $Nd(OH)_3$ (1,7 ммоля) добавляли 1 г (4,7 ммоля) C_6F_5COOH , перемешивали смесь, затем добавляли 40 мл смеси ацетон—метанол (3:1) и продолжали перемешивать в течение 10 ч. Осадок отфильтровывали на стеклянном, затем на плотном бумажном фильтре, промывали смесью ацетон—метанол (3:1) (2×10 мл). Фильтрат испаряли досуха, сиренево-розовый осадок сушили сначала на воздухе, затем в вакууме над ангидроном. Выход ~35 %. Найдено, %: C 31,9, H 0,3, F 35,4. Для $C_{21}H_6F_{15}NdO_9$ вычислено, %: C 31,7, H 0,25, F 35,8. Элементный анализ выполняли по методикам [7]. Соединение I обладает очень слабой фотolumинесценцией.

При медленном испарении водного раствора соединения I на воздухе при комнатной температуре были выращены кристаллы соединения $[Nd_2(H_2O)_8(C_6F_5COO)_6] \cdot 2H_2O$ (II), содержащего по данным РСА большее количество воды.

* E-mail: glinsk@niic.nsc.ru

Т а б л и ц а 1

Кристаллографические характеристики, детали эксперимента и уточнения структуры II

Эмпирическая формула	C ₄₂ H ₂₀ F ₃₀ Nd ₂ O ₂₂
Молекулярная масса	867,53
Сингония	Триклинная
Пространственная группа	P $\bar{1}$
$a, b, c, \text{\AA}$	7,693(2), 9,394(2), 18,203(4)
α, β, γ , град.	81,91(3), 84,41(3), 88,97(3)
$V, \text{\AA}^3$	1296,2(5)
$Z; d_x, \text{г}/\text{см}^3$	1; 2,223
$\mu, \text{мм}^{-1}$	2,172
Размер кристалла, мм	0,28 \times 0,14 \times 0,08
Область сканирования, θ , град.	2,19—30,00
Число изм. / число незав. отражений / R(int)	11493 / 7353 / 0,0140
Число отражений с $I > 2\sigma(I)$	6915
Метод уточнения	Полноматричный МНК по F^2
Число уточняемых параметров	433
GOOF по F^2	0,631
R-фактор, $I > 2\sigma(I)$	$R_1 = 0,0180, wR_2 = 0,0638$
R-фактор (по всем I_{hkl})	$R_1 = 0,0202, wR_2 = 0,0691$
Остаточная электронная плотность (max / min), $e \cdot \text{\AA}^{-3}$	0,761 / -0,615

Параметры элементарной ячейки и интенсивности рефлексов для РСА соединения II изменили на автодифрактометре Bruker X8 APEX CCD, оснащенном двухкоординатным детектором, по стандартной методике при комнатной температуре (MoK α -излучение, графитовый монохроматор). Детали эксперимента и кристаллографические характеристики соединения II приведены в табл. 1. Структура расшифрована прямым методом и уточнена полноматричным МНК в анизотропном для неводородных атомов приближении по комплексу программ SHELXL-97 [10]. Атомы H молекул воды в структуре соединения II локализованы из разностного синтеза электронной плотности и уточнены в изотропном приближении совместно с неводородными атомами. Полные таблицы координат базисных атомов, длин связей и валентных углов депонированы в Кембриджской базе структурных данных (CCDC, № 729234) и могут быть получены у авторов. Основные межатомные расстояния и валентные углы для соединения II приведены в табл. 2. Перекрывание фрагментов C₇F₅ и параметры их взаимодействий приведены в табл. 3.

Результаты и их обсуждение. Кристаллическая структура соединения II составлена из центросимметричных молекул биядерного комплекса [Nd₂(H₂O)₈(C₆F₅COO)₆] и молекул кристаллизационной воды (рис. 1). Каждый ион Nd³⁺ координирует 4 атома O молекул воды, 2 атома O двух монодентатных и 3 атома O двух тридентатных мостиково-хелатообразующих лигандов C₆F₅COO⁻. В результате координации образуются два четырехчленных хелатных цикла NdO₂C и четырехчленный металлоцикл Nd₂O₂. Наиболее короткими связями Nd—O являются связи атомов Nd с атомами O монодентатных лигандов C₆F₅COO⁻: Nd(1)—O(11) 2,389(1) и Nd(1)—O(12) 2,421(4) Å. Связи между атомами Nd и мостиковыми атомами O(13) и O(13)' тридентатных лигандов значительно длиннее, причем они сильно различаются (2,782(1) и 2,543(1) Å, $\Delta = 0,239$ Å). Расстояния Nd(1)—O(23) и Nd(1')—O(23') имеют промежуточное значение 2,588(1) Å. Широкий интервал расстояний Ln—O характерен для соединений Ln с карбоксильными лигандами, так же как образование центросимметричных биядерных фрагментов за счет тридентатной мостиково-хелатообразующей функции карбоксильных групп [11]. Так, на-

Таблица 2

Основные межатомные расстояния d , Å и валентные углы ω , град. в структуре соединения II

Связь	d	Связь	d	Связь	d
Угол	ω	Угол	ω	Угол	ω
Nd(1)—O(11)	2,389(1)	Nd(1)—O(13)'	2,543(1)	O(21)—C(11)	1,244(2)
Nd(1)—O(12)	2,421(1)	Nd(1)—O(23)	2,588(1)	O(22)—C(12)	1,242(2)
Nd(1)—O(1)	2,432(1)	Nd(1)—O(13)	2,782(1)	O(23)—C(13)	1,249(2)
Nd(1)—O(3)	2,482(1)	O(11)—C(11)	1,256(2)	C(11)—C(21)	1,515(2)
Nd(1)—O(2)	2,505(1)	O(12)—C(12)	1,259(2)	C(12)—C(22)	1,516(2)
Nd(1)—O(4)	2,508(1)	O(13)—C(13)	1,257(2)	C(13)—C(23)	1,509(2)
O(11)—Nd(1)—O(12)	106,59(5)	O(4)—Nd(1)—O(23)	82,54(4)	O(3)—Nd(1)—O(13)'	75,76(4)
O(11)—Nd(1)—O(1)	75,48(5)	O(13)'—Nd(1)—O(13)	61,76(4)	O(2)—Nd(1)—O(13)'	146,74(4)
O(12)—Nd(1)—O(1)	135,43(5)	O(23)—Nd(1)—O(13)	48,14(4)	O(13)'—Nd(1)—O(23)	109,56(4)
O(11)—Nd(1)—O(3)	73,47(5)	O(11)—Nd(1)—C(13)	103,84(4)	O(11)—Nd(1)—O(13)	124,15(4)
O(12)—Nd(1)—O(3)	66,86(4)	O(12)—Nd(1)—C(13)	144,47(4)	O(12)—Nd(1)—O(13)	129,14(4)
O(1)—Nd(1)—O(3)	71,62(5)	O(1)—Nd(1)—C(13)	70,19(4)	O(1)—Nd(1)—O(13)	68,08(4)
O(11)—Nd(1)—O(2)	71,75(5)	O(3)—Nd(1)—C(13)	141,03(4)	O(3)—Nd(1)—O(13)	127,81(4)
O(12)—Nd(1)—O(2)	83,40(5)	O(11)—Nd(1)—O(4)	142,95(5)	O(2)—Nd(1)—O(13)	107,53(4)
O(1)—Nd(1)—O(2)	135,39(4)	O(12)—Nd(1)—O(4)	71,17(4)	O(4)—Nd(1)—O(13)	66,51(4)
O(3)—Nd(1)—O(2)	124,43(5)	O(1)—Nd(1)—O(4)	133,03(4)	O(2)—Nd(1)—C(13)	89,12(4)
O(4)—Nd(1)—O(13)'	75,80(4)	O(3)—Nd(1)—O(4)	131,77(4)	O(4)—Nd(1)—C(13)	73,53(4)
O(11)—Nd(1)—O(23)	83,50(5)	O(2)—Nd(1)—O(4)	71,26(4)	O(13)'—Nd(1)—C(13)	85,88(4)
O(12)—Nd(1)—O(23)	148,00(5)	O(11)—Nd(1)—O(13)'	141,24(5)	O(23)—Nd(1)—C(13)	23,81(4)
O(1)—Nd(1)—O(23)	76,19(5)	O(12)—Nd(1)—O(13)'	81,83(4)	O(13)—Nd(1)—C(13)	24,33(4)
O(3)—Nd(1)—O(23)	144,07(5)	O(1)—Nd(1)—O(13)'	72,85(4)	Nd(1)'—O(13)—Nd(1)	118,24(4)
O(2)—Nd(1)—O(23)	70,83(4)				

Примечание. Длины связей C—C и C—F изменяются в интервалах 1,369(3)–1,399(2) и 1,331(2)–1,343(2) Å соответственно.

пример, в комплексе III также выявлено большое различие в длинах связей Tb—O с мостико-выми атомами O (2,765(4) и 2,401(5) Å, $\Delta = 0,364$ Å), при этом удлиненная связь была включена в координацию (КЧ 9). Мы считаем, что в полученном соединении II КЧ ионов Nd³⁺ также рав-

Таблица 3

Характеристики фрагментов C₇F₅ и параметры их взаимодействий в кристаллической структуре II

№ фрагмента и составляющие его атомы	Δ , Å	Взаимодействующие плоскости	ϕ , град.	d , Å	r , Å
1. C(11)—F(71)	0,010	1—2	5,5	2,790	6,030
1'. C(11)'—F(71)'	0,010	1'—2	5,5	3,293	4,451
2. C(12)—F(72)	0,006	2—3	2,7	3,321	4,526
3. C(13)—F(73)	0,019	1'—3	5,6	3,229	4,468

Примечание. Δ — среднее отклонение атомов от плоскости фрагмента C₇F₅; ϕ — угол; d — среднее расстояние между плоскостями фрагментов; r — межцентровое расстояние; 1' — трансляционно-идентичный фрагмент вдоль оси a .

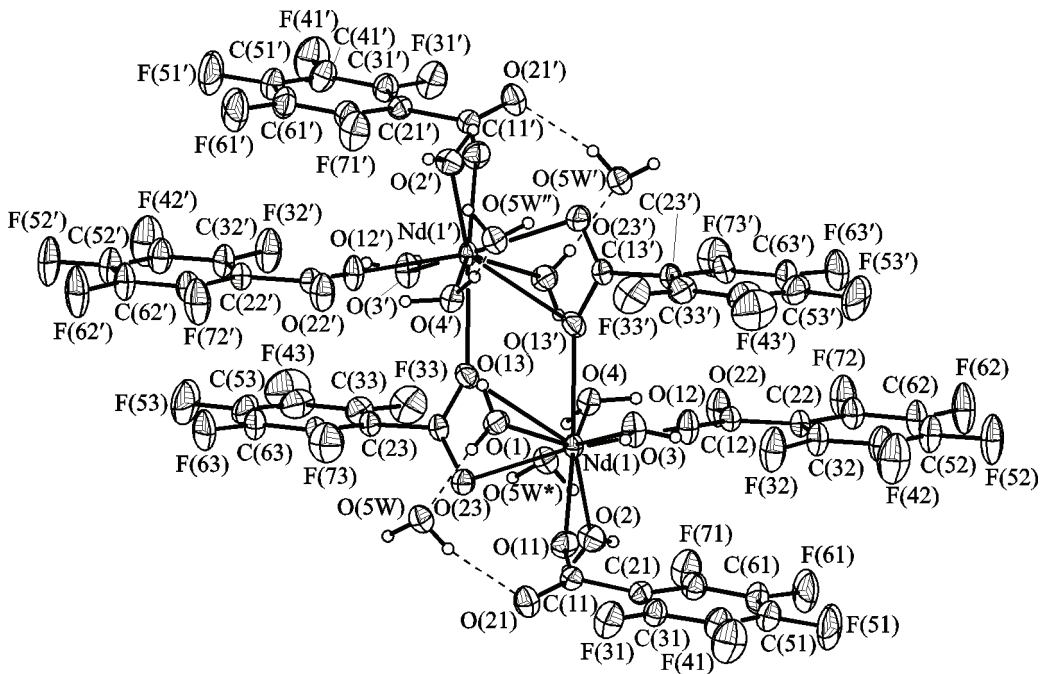


Рис. 1. Строение соединения II с обозначениями атомов. Термические эллипсоиды показаны на уровне 50%-й вероятности

но 9. Координационный полиэдр NdO_9 можно представить в форме искаженной одношапочной тетрагональной антипризмы. Оба основания антипризмы — неплоские, среднее отклонение от плоскости атомов $\text{O}(2)\text{O}(11)\text{O}(3)\text{O}(12)$ составляет $0,133 \text{ \AA}$. Другое основание антипризмы из атомов $\text{O}(1)\text{O}(23)\text{O}(4)\text{O}(13')$ центрировано атомом $\text{O}(13)$. Для двух координационных полиэдров NdO_9 , связанных центром симметрии, ребро $\text{O}(13)\dots\text{O}(13')$ $2,741(2) \text{ \AA}$ является общим, расстояние $\text{Nd}\dots\text{Nd}$ равно $4,572(2) \text{ \AA}$. Расстояние $\text{Tb}\dots\text{Tb}$ в комплексе III равно $4,437(2) \text{ \AA}$. Несколько увеличенное расстояние $\text{Ln}\dots\text{Ln}$ ($\Delta = 0,135 \text{ \AA}$) в соединении II, по сравнению с комплексом III, по-видимому, можно объяснить наличием молекул кристаллизационной воды, образующей H-связи с атомами О биядерного комплекса $[\text{Nd}_2(\text{H}_2\text{O})_8(\text{C}_6\text{F}_5\text{COO})_6]$.

На рис. 2 в проекции на плоскость (100) показана упаковка биядерных молекул вдоль направления y . Молекулы воды образуют короткие H-связи с атомами O(1) и O(4) комплекса, равные $2,670(2)$ и $2,685(3) \text{ \AA}$, и более длинные с атомами O(21) монодентатных лигандов $\text{C}_6\text{F}_5\text{COO}^-$, равные $2,777(3)$ и $2,784(2) \text{ \AA}$. При этом молекулы воды играют роль "мостиков", связывая между собой трансляционно-идентичные биядерные комплексы.

В структуре соединения II фрагменты C_7F_5 , включающие атом С карбоксильной группы, имеют плоское строение и располагаются почти параллельно друг другу, что является предпосылкой возможного $\pi-\pi$ -взаимодействия между соседними фрагментами [12]. Результаты проведенного расчета представлены в табл. 3, там же приведены средние отклонения атомов С и F от плоскостей фрагментов. На рис. 3 показаны перекрывания соседних фрагментов в соответствии с данными табл. 3. Следует отметить, что фрагменты C(11)—F(71) и C(12)—F(72), относящиеся к одному биядерному комплексу, не перекрываются, заметное перекрывание фрагмента C(12)—F(72) происходит лишь с трансляционно-идентичным вдоль оси a фрагментом C(11')—F(71') (см. рис. 3, a). Перекрывание фрагментов C(12)—F(72) с C(13)—F(73) и C(11')—F(71') с C(13)—F(73) показаны на рис. 3, б и в соответственно.

В структуре можно выделить слои, параллельные плоскости (001). Они образованы трансляционно-идентичными биядерными комплексами за счет H-связей молекул воды и $\pi-\pi$ -взаимо-

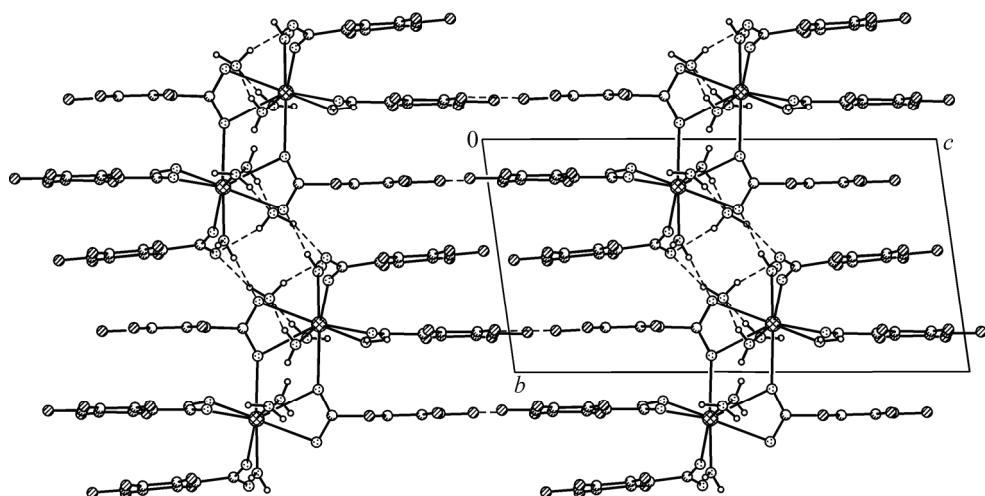


Рис. 2. Проекция кристаллической структуры II на плоскость (100)

действий. На элементарную ячейку приходится один слой, следующий слой трансляционно-идентичный (см. рис. 2). Слои между собой связаны невалентными контактами $F(63)\dots F(52)$ 2,863(3), $F(42)\dots F(53)$ 2,869(3) Å (при сумме ван-дер-ваальсовых радиусов атомов F 2,91 Å).

Таким образом, нами получен и структурно охарактеризован гидрат биядерного комплекса Nd(III) с пентафторбензоат-ионами, что дополнило данные о биядерных комплексах Ln.

Авторы благодарят Д.Ю. Наумова за съемку и обработку данных с монокристального дифрактометра, В.Е. Платонова и В.М. Карпова за образец C_6F_5COOH , В.П. Фадееву за данные элементного анализа, Е.М. Ускова за данные по фотолюминесценции.

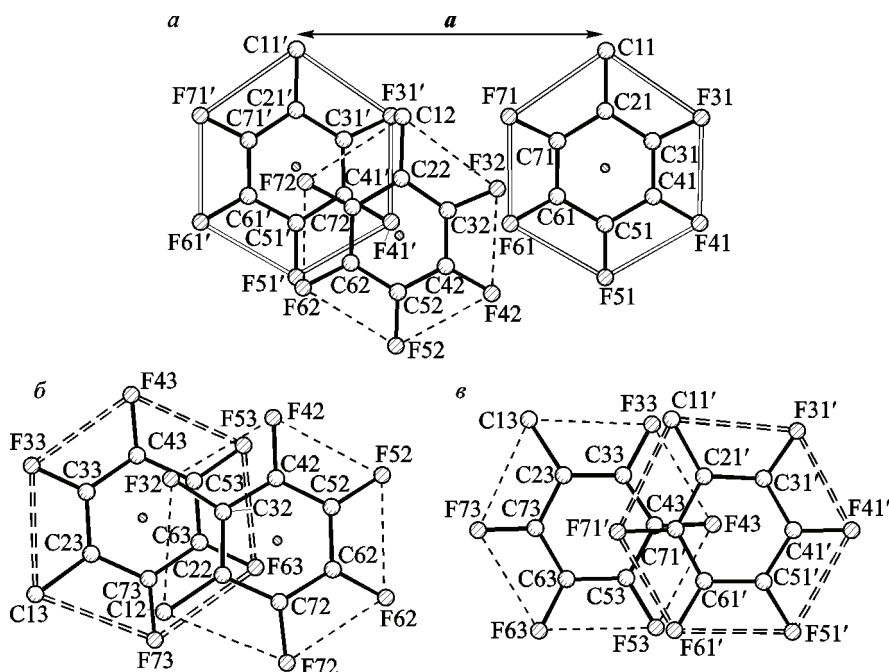


Рис. 3. Степень перекрывания соседних фрагментов C_7F_5 в проекции на их среднестатистические плоскости: а — перекрывание фрагмента 2 с 1 и 2 с 1' (трансляционно-идентичным), б — перекрывание фрагментов 2 и 3, в — перекрывание фрагментов 1' и 3

СПИСОК ЛИТЕРАТУРЫ

1. Жаботинский М.Е., Левкин Л.В. Справочник по лазерам. Т. 1. – М.: Советское радио, 1978.
2. Каткова М.А., Витухновский А.Г., Бочкарев М.Н. // Усп. химии. – 2005. – **74**, № 12. – С. 1193 – 1215.
3. Мешкова С.Б., Топилова З.М., Лозинский О.М. и др. // Журн. аналит. химии. – 1997. – **52**, № 9. – С. 939 – 943.
4. Топилова З.М., Мешкова С.Б., Большой Д.В. и др. // Журн. неорган. химии. – 1997. – **42**, № 1. – С. 99 – 104.
5. Мешкова С.Б., Кузьмин В.Е., Юданова И.В. и др. // Там же. – 1999. – **44**, № 10. – С. 1671 – 1678.
6. Цвирко М.П., Мешкова С.Б., Венчиков В.Я. и др. // Оптика и спектроскоп. – 1999. – **87**, № 6. – С. 950 – 955.
7. Ларионов С.В., Кириченко В.Н., Растворгусев А.А. и др. // Координац. химия. – 1997. – **23**, № 6. – С. 465 – 471.
8. Мячина Л.И., Шелудякова Л.А., Икорский В.Н. и др. // Журн. общ. химии. – 1998. – **68**, № 6. – С. 885 – 886.
9. Ларионов С.В., Глинская Л.А., Леонова Т.Г. и др. // Координац. химия. – 2009. – **35**, № 11. – С. 808 – 816.
10. Sheldrick G.M. SHELXS97 and SHELXL97. Programs for the Refinement of Crystal Structures. Göttingen University. – Göttingen. Germany, 1997.
11. Порай-Кошиц М.А. Итоги науки и техники. Кристаллохимия. – М.: ВИНТИ, 1981. – **15**. – С. 3 – 129.
12. Hunter C.A., Sanders J.K.M. // J. Amer. Chem. Soc. – 1990. – **112**, N 15. – Р. 5525 – 5534.